## Capítulo 8

# Controle $H_{\infty}$ Multivariável: Sensibilidade Mista

Neste capítulo, formula-se o problema geral de sensibilidade mista  $H_{\infty}$  através do conceito de transformação liner fracionária (LFT) e o conceito de planta estendida MIMO. O problema de sensibilidade mista S/KS é então formulado e o algoritmo de síntese do controlador é apresentado. Finalmente as incertezas são incluidas no esquema e o problema S/T/KS e apresentado.

### 8.1 Problema Geral: Planta Estendida

Antes de entrarmos nos diversos tipos de situações que vamos querer resolver com a técnica de Controle  $H_{\infty}$ , devemos introduzir o chamado problema padrão, que é a forma que os algoritmos de projeto (em particular, o Robust Control Toolbox do MATLAB) requerem que o problema esteja de forma o poder operar. Esta forma padrão é apresentada na Fig. 8.2, que é composta por três matrizes de funções de transferência:

- P(s): é a chamada planta estendida, que deve conter a planta combinada com matrizes de funções peso, cujo papel será esclarecido mais adiante;
- $\bullet$  K(s): o controlador, que é o objeto de estudo e projeto, que deve ter parâmetros invarintes no tempo
- $\Delta(s)$ : a matrizes de funções de transferência de incertezas, conhecida como matriz das perturbações, e tal que  $\|\Delta\|_{\infty} \leq 1$ .

Os sinais apresentados neste diagrama de blocos são denominados:

- w: vetor dos sinais externos, que contem, dentre outros, sinais de referência, distúrbio e ruído;
- z: vetor os sinais conhecidos como saídas de desempenho, que não necessariamente contem as saídas tradicionais (medidas por sensores), mas podem contem qualquer sinal que se use para fins de projeto e análise de desempenho, como erros, sinais de controle, ou até mesmo versões filtradas destes;
- ullet v: vetor de entrada do controlador, que normalmente é o vetor de erros;
- u: vetor de sinais de controle, que são fornecidos pelo controlador à planta de modo a efetuar o controle em tempo real;

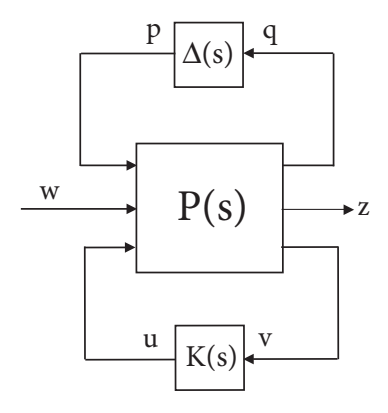


Figura 8.1: Diagrama de Blocos Geral para Controle Robusto

- q: é o vetor de sinais *virtuais* que são usados pela matriz de perturbações para criar as incertezas;
- **p**: é o vetor de sinais *virtuais* através dos quais a matriz de perturbações causa incertezas na planta.

É importante esclarecer que estes dois últimos sinais não existem fisicamente, mas somente durante o período de projeto do sistema, para efeito de representar as incertezas do sistema.

### 8.2 Projeto para Planta sem Incertezas

O bloco  $\Delta(s)$  nunca entra na fase de projeto do controlador K(s). Deste modo, a matriz de funções de transferência da planta estendida pode ser particionada em:

$$\left[\begin{array}{c} z \\ v \end{array}\right] = \left[\begin{array}{c} P_{11} & P_{12} \\ P_{21} & P_{22} \end{array}\right] \left[\begin{array}{c} w \\ u \end{array}\right]$$

e uma representação em espaço de estados tem a seguinte forma:

$$\begin{cases} \dot{x} = Ax + B_1 w + B_2 u \\ z = C_1 x + D_{11} w + D_{12} u \\ v = C_2 x + D_{21} w + D_{22} u \end{cases}$$

que ainda pode ser representada em um forma mais compacta, que é:

$$P(s) = \begin{bmatrix} A & B_1 & B_2 \\ \hline C_1 & D_{11} & D_{12} \\ C_2 & D_{21} & D_{22} \end{bmatrix}$$
(8.1)

de modo que a matriz de funções de transferência em malha fechada que relaciona  ${\bf w}$  e  ${\bf z}$  é dada pela fórmula:

$$\mathbf{z} = \underbrace{[P_{11} + P_{12}K(I - P_{22}K)^{-1}P_{21}]}_{\mathcal{F}_{I}(P,K)}\mathbf{w},$$
(8.2)

onde  $\mathcal{F}_l$  é conhecida como transformação linear fracionária inferior das matrizes P e K. Em seguida, busca-se encontrar o controlador K(s) que estabiliza internamente o sistema em malha fechada com a planta estendida P(s) e tal que satisfaz o problema de otimização:

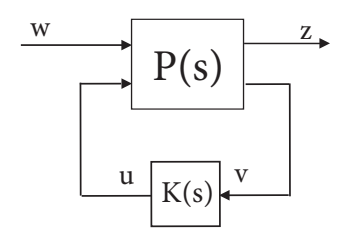


Figura 8.2: Diagrama de Blocos para Projeto de Controle Robusto

$$\min_{K(s) \text{ inter. estab.}} \|\mathcal{F}_l(P, K)\|_{\infty}. \tag{8.3}$$

Se for encontrada a solução para este problema de otimização, teremos um controlador internamente estabilizante tal que o máximo ganho de energia entre os sinais de entrada (disturbios e referências) e o erro filtrado é minimizado. As especificações estão incluídas em  $W_b$  e as incertezas na planta em W, de modo que se espera robustez.

### 8.2.1 Problema de Regulação

Para o caso de um problema de regulação, onde a referência é nula e o controlador deve somente levar o sistema ao equilíbrio, atendendo certas especificações, mesmo na presença de distúrbios, temos a planta estendida apresentada na Fig. 8.3. Como v = -y = -w - Gu, tem-se que a planta estendida é dada pela equação abaixo:

$$\begin{bmatrix} z_1 \\ z_2 \\ \hline v \end{bmatrix} = \begin{bmatrix} W_p w + W_p G u \\ W_u u \\ -w - G u \end{bmatrix} = \begin{bmatrix} W_p & W_p G \\ 0 & W_u \\ \hline -I & -G \end{bmatrix} \begin{bmatrix} w \\ u \end{bmatrix}$$

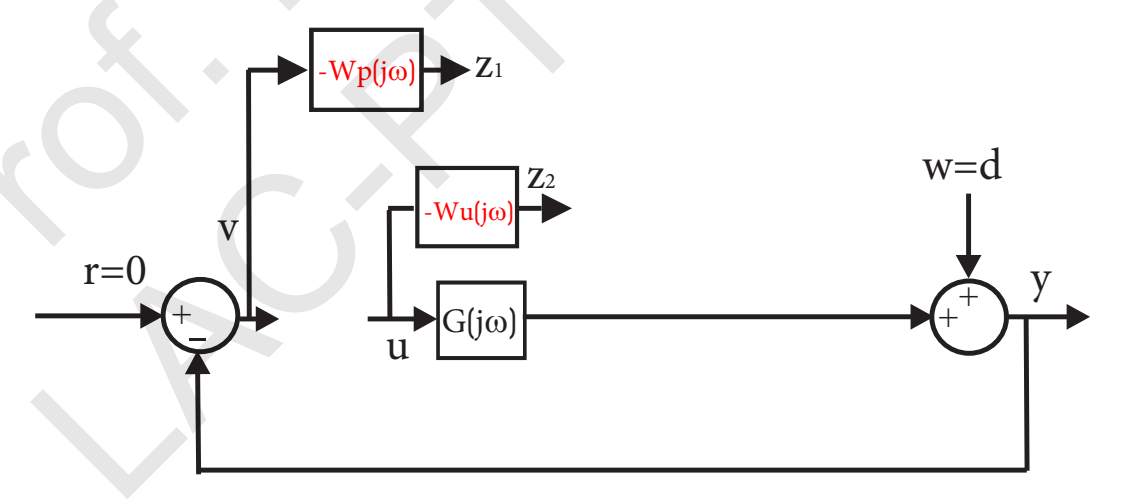


Figura 8.3: Planta estendida para problema de regulação

Deste modo, temos que:

$$\mathcal{F}_l(P,K) = \left[ \begin{array}{c} W_p \\ 0 \end{array} \right] - \left[ \begin{array}{c} W_p G \\ -W_u \end{array} \right] K(I+GK)^{-1} = \left[ \begin{array}{c} W_p (I-GKS) \\ W_u KS \end{array} \right] = \left[ \begin{array}{c} W_p S \\ W_u KS \end{array} \right]$$

Deste modo, se minimizarmos a norma  $\|\mathcal{F}_l(P,K)\|_{\infty}$  (ou como já fizemos, buscarmos uma solução sub-ótima) estaremos resolvendo o problema de sensibilidade mista S/KS.

#### 8.2.2 Problema de Rastreamento

Para o caso de um problema de rastreamento, onde o distúrbio é nulo, atendendo certas especificações, temos a planta estendida apresentada na Fig. 8.4. Como v=r-y=r-Gu, tem-se que a planta estendida é dada pela equação abaixo:

$$\begin{bmatrix} z_1 \\ z_2 \\ \hline v \end{bmatrix} = \begin{bmatrix} W_p r - W_p G u \\ W_u u \\ r - G u \end{bmatrix} = \begin{bmatrix} W_p & -W_p G \\ 0 & W_u \\ \hline I & -G \end{bmatrix} \begin{bmatrix} r \\ u \end{bmatrix}$$

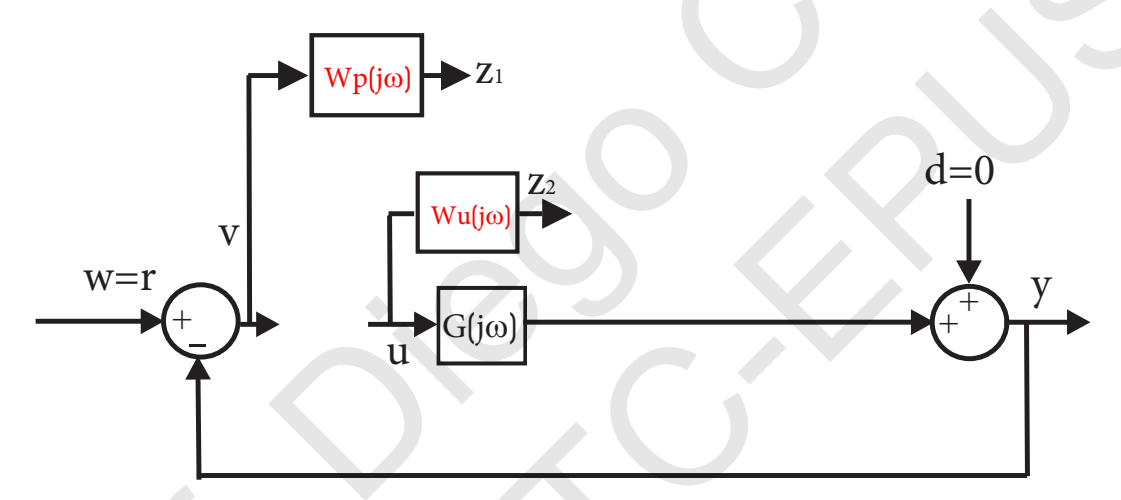


Figura 8.4: Planta estendida para problema de rastreamento

Deste modo, temos que:

$$\mathcal{F}_{l}(P,K) = \begin{bmatrix} W_{p} \\ 0 \end{bmatrix} + \begin{bmatrix} -W_{p}G \\ W_{u} \end{bmatrix} K(I+GK)^{-1} = \begin{bmatrix} W_{p}(I-GKS) \\ W_{u}KS \end{bmatrix} = \begin{bmatrix} W_{p}S \\ W_{u}KS \end{bmatrix}$$
(8.5)

o que mostra que a minimização a ser feita é igual tanto para o problema de regulação quanto para o problema de rastreamento.

### 8.3 Problema S/T/KS MIMO

Se acrecentarmos uma saída de desempenho  $z_3 = W\bar{y}$ , onde  $\bar{y} = Gu$ , teremos o diagrama de blocos apresentaaado na Fig. 8.5.

$$\begin{bmatrix} z_1 \\ z_2 \\ \underline{z_3} \\ v \end{bmatrix} = \begin{bmatrix} W_p r - W_p G u \\ W_u u \\ WG u \\ r - G u \end{bmatrix} = \begin{bmatrix} W_p & -W_p G \\ 0 & W_u \\ \underline{0} & WG \\ \hline I & -G \end{bmatrix} \begin{bmatrix} r \\ u \end{bmatrix}$$

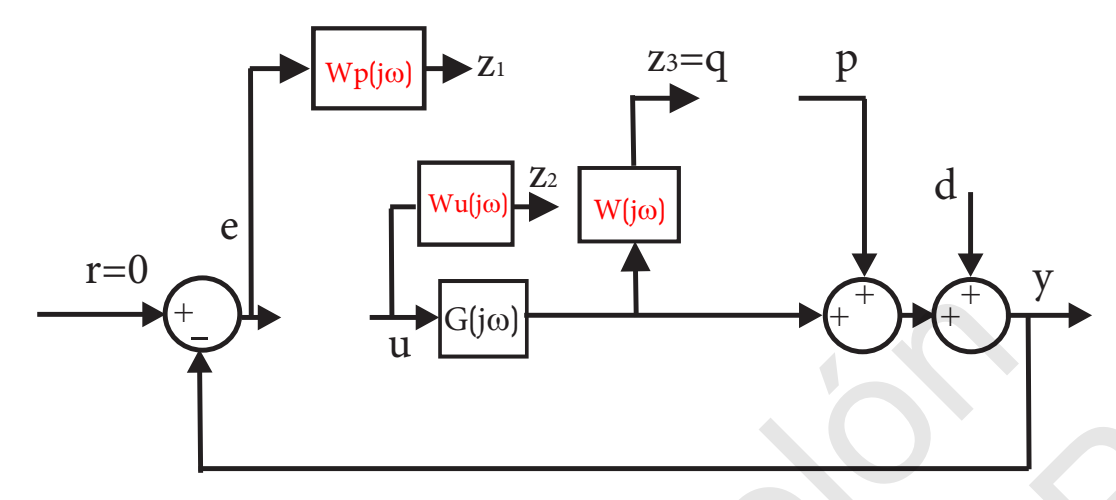


Figura 8.5: Planta estendida para problema de rastreamento

Deste modo, temos que:

$$\mathcal{F}_{l}(P,K) = \begin{bmatrix} W_{p} \\ 0 \\ 0 \end{bmatrix} + \begin{bmatrix} -W_{p}G \\ W_{u} \\ WG \end{bmatrix} K(I+GK)^{-1} = \begin{bmatrix} W_{p}(I-GKS) \\ W_{u}KS \\ WGKS \end{bmatrix} = \begin{bmatrix} W_{p}S \\ W_{u}KS \\ WT \end{bmatrix}$$

$$(8.6)$$

Já sabemos que o problema de otimização em Eq. (8.3) é em geral impossível de se resolver. O que se faz, entretanto, é buscar um controlador sub-ótimo. O que se faz então é buscar um controlador (ou melhor, uma família de controladores) estabilizante tal que a matriz de funções de transferência  $T_{zw} = \mathcal{F}_l(P, K)$  seja tal que:

$$||T_{zw}||_{\infty} < 1$$

Os algoritos que buscam soluções subótimas garantem entretanto somente que:

$$||T_{zw}||_{\infty} < \gamma$$

ou seja, as especificações somente são atendidas se  $\gamma < 1$ .

Teorema 8.3.1. Se  $T_{zw}$  é tal que:

$$T_{zw} = \left[ \begin{array}{c} W_p S \\ W_u K S \\ W T \end{array} \right]$$

então se  $||T_{zw}||_{\infty} < \gamma$ , temos que:

$$\bar{\sigma}(S(j\omega)) \leq \gamma \underline{\sigma}(W_p^{-1}(j\omega)) 
\bar{\sigma}(KS(j\omega)) \leq \gamma \underline{\sigma}(W_u^{-1}(j\omega)) 
\bar{\sigma}(T(j\omega)) \leq \gamma \underline{\sigma}(W^{-1}(j\omega))$$

Há algoritmos comerciais que buscam o sub-ótimo de forma iterativa, com algum critério de parada. Eventualmente, após várias iterações,  $\gamma$  pode ficar próximo de um, ou até menor (quem sabe até chegue próximo do ótimo), o que também satisfaz as especificações. Se o melhor valor de  $\gamma$  a que se chegar for muito acima de um, há algum

problema com as especificações (não podem ser atendidas) ou com a planta em si (não-controlável/observável, por exemplo). O algoritmo de Doyle, como apresentado em [ZD98] busca encontrar um controlador na forma de realimentação de estados com observador, através da solução de duas equações algébricas de Riccati (ARE). Entretanto, há também a abordagem por desigualdades matriciais lineares (ou LMI) que é bastante popular [DP13].

### 8.4 Síntese de Controladores $H_2$ e $H_{\infty}$

Dado que se deseja projetar um controlador como na Fig. 8.2 e tal que  $||T_{zw}||_{\infty} < \gamma$ , inicialmente é necessário uma representação em espaço de estados como em (8.1). Esta forma padrão também pode ser usada para minimizar  $||T_{zw}||_2$  que, esta sim, pode ser minimizada.

Para que estes problemas possam ser resolvidos pelos algoritmos clássicos, as seguintes restrições são impostas:

- 1. A tripla  $(A, B_2, C_2)$  deve ser estabilizável e detectável, de modo que haja controlador estabilizante;
- 2.  $D_{12}$  e  $D_{21}$  devem ter posto pleno para que haja controladores realizáveis;
- 3. As matrizes  $\begin{bmatrix} A-j\omega I & B_2 \\ C_1 & D_{12} \end{bmatrix}$  e  $\begin{bmatrix} A-j\omega I & B_1 \\ C_2 & D_{21} \end{bmatrix}$  devem ter posto pleno para todo  $\omega$ , de modo a assegurar que o controlador resultante não cancel pólos com zeros no eixo imaginário;
- 4.  $D_{11} = 0$  e  $D_{22} = 0$ , que é uma hipótese essencial para a síntese  $H_2$ , já que isto garante que o sistema seja estritamente próprio;
- 5. Pode-se fazer  $D_{12} = \begin{bmatrix} 0 \\ I \end{bmatrix}$  e  $D_{21} = \begin{bmatrix} 0 & I \end{bmatrix}$  sem perda de generalidade.

Em geral, os problemas práticos satisfazem estas restrições.

#### 8.4.1 Síntese $H_2$

Supondo que o vetor de sinais  $\mathbf{w}(t)$  é um ruído branco, ou seja, tal que  $E\{\mathbf{w}(t)\mathbf{w}(t)^T\} = I\delta(t-\tau, \text{ então se calcularmos:}$ 

$$E\left\{\lim_{T\to\infty}\frac{1}{2T}\int_{-T}^{T}\mathbf{z}(t)^{T}\mathbf{z}(t)\,\mathrm{d}t\right\} = \operatorname{trace}\left(E\{\mathbf{z}(t)\mathbf{z}(t)^{T}\}\right) = \|T_{zw}\|_{2}^{2}$$

onde a última igualdade vem do teorema de Parseval. Deste modo, minimizar a norma  $H_2$  significa minimizar a potência da saída de desempenho. O algoritmo para solução pode ser encontrado com mais detalhes em [ZDG95].

**Exemplo:** Dado um sistema com distúrbios de processo  $w_d$  e de saída  $w_n$  que são ruídos brancos:

$$\begin{cases} \dot{x} = Ax + w_d + B_2 u \\ y = Cx + w_n \end{cases}$$

e tal que as matrizes de covariância são:

$$E\left\{\begin{bmatrix} w_d \\ w_n \end{bmatrix} \begin{bmatrix} w_d^T & w_n^T \end{bmatrix}\right\} = \begin{bmatrix} W & 0 \\ 0 & V \end{bmatrix} \delta(t - \tau)$$

e o funcional que se deseja otimizar é:

$$J = E\left\{\lim_{T \to \infty} \frac{1}{T} \int_0^T [x^T Q x + u^T R u] \, \mathrm{d}t\right\}$$

onde  $Q = Q^T \ge 0$  e  $R = R^T > 0$ . Este problema é conhecido como LQG (Linear Quadratic Gaussian) e sua solução é bem conhecida, pois se trata de um problema linear quadrático.

Para colocar este problema na forma de um problema de otimização  $H_2$ , podemos definir:

$$z = \begin{bmatrix} \sqrt{Q} & 0 \\ 0 & \sqrt{R} \end{bmatrix} \begin{bmatrix} x \\ u \end{bmatrix}$$

е

$$\begin{bmatrix} w_d \\ w_n \end{bmatrix} = \begin{bmatrix} \sqrt{W} & 0 \\ 0 & \sqrt{V} \end{bmatrix} w$$

onde  $E\{ww^T\} = I\delta(t-\tau)$ . A planta estendida para este problema tem a seguinte representação em espaço de estados:

$$P(s) = \begin{bmatrix} A & \sqrt{W} & 0 & B \\ \hline \sqrt{Q} & 0 & 0 & 0 \\ 0 & 0 & 0 & \sqrt{R} \\ C & 0 & \sqrt{V} & 0 \end{bmatrix}$$

O controlador obtido desta forma tem a estrutura

$$K_{\text{LQG}}(s) = \begin{bmatrix} A - BK_r - K_fC & K_f \\ -K_r & 0 \end{bmatrix}$$

onde:

•  $K_r = R^{-1}B^TX$  e  $X = X^T \ge 0$  é a única solução semidefinida positiva da Equação Algébrica de Riccati:

$$A^T X + XA - XBR^{-1}B^T X + Q = 0$$

•  $K_f = YC^TV^{-1}$  e  $Y = Y^T \ge 0$  é a única solução semidefinida positiva da Equação Algébrica de Riccati:

$$YA^T + AY - YC^TV^{-1}CY + W = 0$$

Deste modo, a estrutura completa do sistema em malha fechada é apresentada na Fig. 8.6. Este controlador, entretanto, não é robusto.

#### 8.4.2 Sintese $H_{\infty}$

No problema de síntese  $H_{\infty}$  o que se busca é um controlador K(s) tal que:

$$||T_{wz}||_{\infty} = ||\mathcal{F}_l(P, K)||_{\infty} < \gamma$$

e isto se dá através de um algoritmo iterativo. Há um teorema que dá as condições necessárias para que exista um controlador tal que tal que  $||T_{wz}||_{\infty} < \gamma$  tenha solução. Se  $\gamma_0$  é o ínfimo do conjunto de valores de  $\gamma$  para os quais existe controlador admissível, é

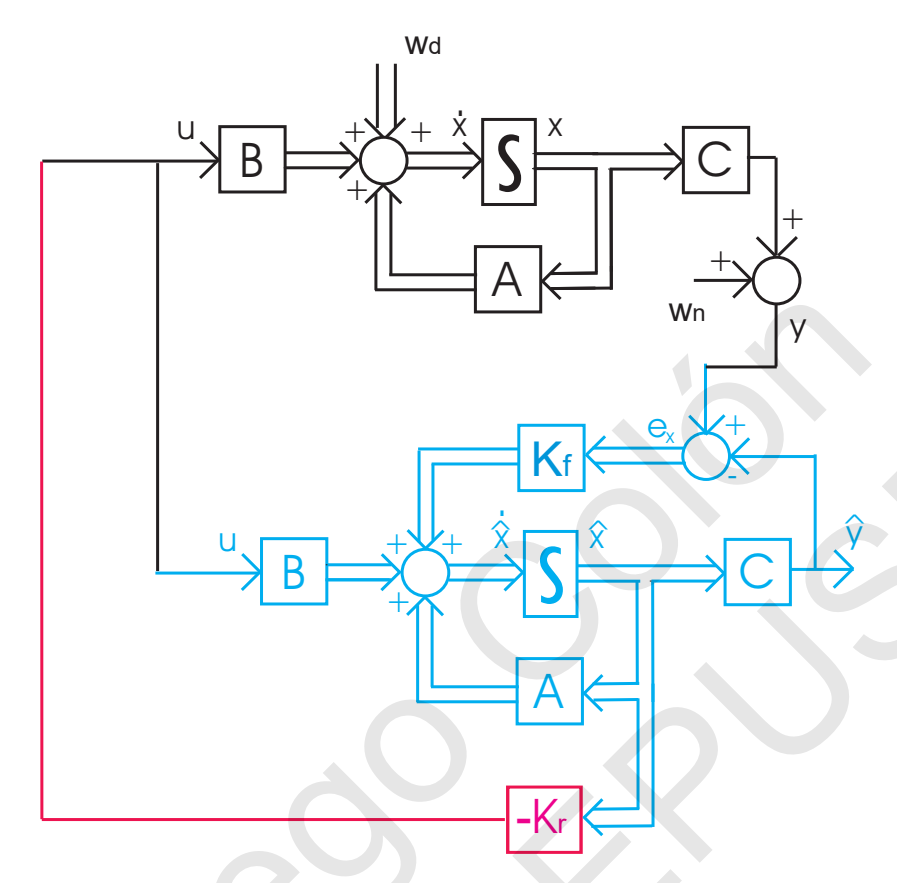


Figura 8.6: Sistema LQG com Filtro de Kalman

possível se aproximar de  $\gamma_0$  por uma técnica de busca, podendo até ser possível resolver o problema de Controle Ótimo  $H_{\infty}$ .

De fato, temos que  $\|\mathcal{F}_l(P,K)\|_{\infty} < \gamma$  se e só se:

1. Existe  $X_{\infty} \ge 0$  que seja solução da EAR:

$$A^{T}X_{\infty} + X_{\infty}A + C_{1}^{T}C_{1} + X_{\infty}(\gamma^{-2}B_{1}B_{1}^{T} - B_{2}B_{2}^{T})X_{\infty} = 0$$

tal que  $\Re \lambda_i [A + (\gamma^{-2} B_1 B_1^T - B_2 B_2^T)] < 0$  para qualquer i,e:

2. Existe  $Y_{\infty} \geq 0$  que seja solução da EAR:

$$A^{T}Y_{\infty} + Y_{\infty}A + B_{1}^{T}B_{1} + Y_{\infty}(\gamma^{-2}C_{1}^{T}C_{1} - C_{2}^{T}C_{2})Y_{\infty} = 0$$

tal que  $\Re \lambda_i [A + (\gamma^{-2} C_1^T C_1 - C_2^T C_2)] < 0$  para qualquer i, e

3.  $\rho(X_{\infty}Y_{\infty}) < \gamma^2$ 

De fato, há uma família de controladores estabilizantes  $K(s) = \mathcal{F}_l(K_C, Q)$  onde

$$K_C(s) = \begin{bmatrix} A_{\infty} & -Z_{\infty}L_{\infty} & Z_{\infty}B_2 \\ F_{\infty} & 0 & I \\ -C_2 & I & 0 \end{bmatrix}$$

e onde  $F_{\infty}=-B_2^TX_{\infty},~L_{\infty}=-Y_{\infty}C_2^T,~Z_{\infty}=(I-\gamma^{-2}Y_{\infty}X_{\infty})^{-1}$  e  $A_{\infty}=A+\gamma^{-2}B_1B_1^TX_{\infty}+B_2F_{\infty}+Z_{\infty}L_{\infty}C_2$  e Q(s) é qualquer matriz de funções de transferência

estável e própria tal que  $||Q||_{\infty} < \gamma$ . O dito controlador central é aquele membro da família para o qual  $Q(s) \equiv 0$  e que tem a expressão:

$$K(s) = -F_{\infty}(sI - A_{\infty})^{-1}Z_{\infty}L_{\infty}$$

Além disso:

- O controlador central possui tem o mesmo número de estados que a planta generalizada P(s).
- O controlador central possui também um estrutura de separação na forma de um observador de estados e uma realimentação dos estados estimados pelo observador da forma:

$$\dot{\hat{x}} = A\hat{x} + \underbrace{B_1 \gamma^{-2} B_1^T X_{\infty} \hat{x}}_{\hat{w}_{\text{pior}}} + B_2 u + Z_{\infty} L_{\infty} (C_2 \hat{x} - y)$$

$$u = F_{\infty} \hat{x}$$

# Referências Bibliográficas

- [dC96] José Jaime da Cruz. Controle Robusto Multivariável. Editora da Universidade de São Paulo, 1996.
- [DLCBS18] P.B. De Lauro Castrucci, A. Bittar, and R.M. Sales. *Controle Automático*. LTC, 2018.
- [DP13] G.E. Dullerud and F. Paganini. A Course in Robust Control Theory: A Convex Approach. Texts in Applied Mathematics. Springer New York, 2013.
- [Fer02] Pedro J. Fernandez. Medida e Integração. Projeto Euclides. Instituto de Matemática Pura e Aplicada-CNPq, Estrada Dona Castorina, 110, RIo de Janeiro, Brasil, 2002.
- [FPC20] Rafael Fernandes Pinheiro and Diego Colón. On the  $\mu$ -analysis and synthesis of mimo lurie-type systems with application in complex networks. Circuits, Systems, and Signal Processing, June 2020.
- [GPK14] D.W. Gu, P.H. Petkov, and M.M. Konstantinov. Robust Control Design with MATLAB®. Advanced Textbooks in Control and Signal Processing. Springer London, 2014.
- [Hes18] J.P. Hespanha. Linear Systems Theory: Second Edition. Princeton University Press, 2018.
- [Lju99] Lennart Ljung. System Identification Theory For the User. Prentice Hall, Upper Saddle River, N.J., second edition, 1999.
- [Nis15] N.S. Nise. Control Systems Engineering, 7th Edition. Wiley, 2015.
- [Oga11] K. Ogata. Engenharia de controle moderno. PRENTICE HALL BRASIL, 2011.
- [PC19] Rafael Fernandes Pinheiro and Diego Colón. An application of the lurie problem in hopfield neural networks. In Agenor de T. Fleury, Domingos A. Rade, and Paulo R. G. Kurka, editors, *Proceedings of DINAME 2017*, pages 371–382, Cham, 2019. Springer International Publishing.
- [SP05] S. Skogestad and I. Postlethwaite. Multivariable Feedback Control: Analysis and Design. Wiley, 2005.
- [SPS98] R.S. Sánchez-Peña and M. Sznaier. Robust systems theory and applications. Adaptive and learning systems for signal processing, communications, and control. John Wiley, 1998.
- [ZD98] K. Zhou and J.C. Doyle. Essentials of Robust Control. Prentice Hall Modular Series for Eng. Prentice Hall, 1998.
- [ZDG95] Khemin Zhou, John C. Doyle, and Keith Glover. *Robust and Optimal Control*. Upper Saddle River, N.J.: Prentice Hall, 1995.